



Title: Análisis y simulación de cargas de viento en un concentrador solar de canal parabólico mediante la aplicación de software

Author: Alexis RAMÍREZ ROJO

Editorial label ECORFAN: 607-8324
BCIERMIMI Control Number: 2017-02
BCIERMIMI Classification (2017): 270917-0201

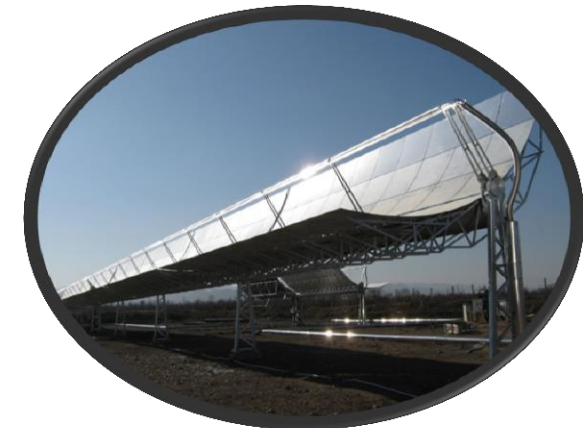
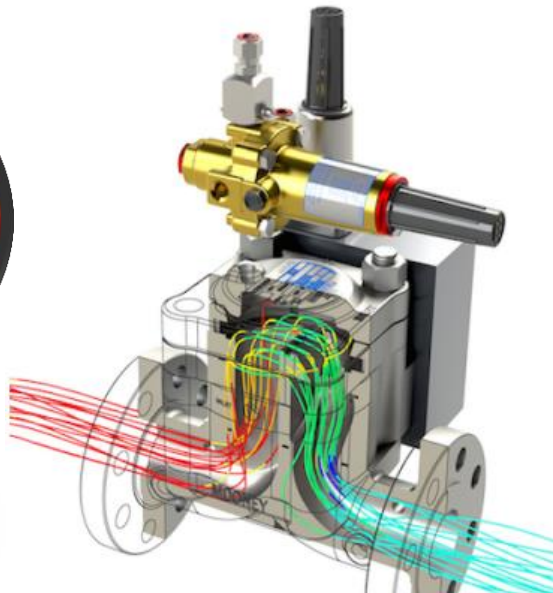
Pages: 19
Mail: alexisram211@hotmail.com
RNA: 03-2010-032610115700-14

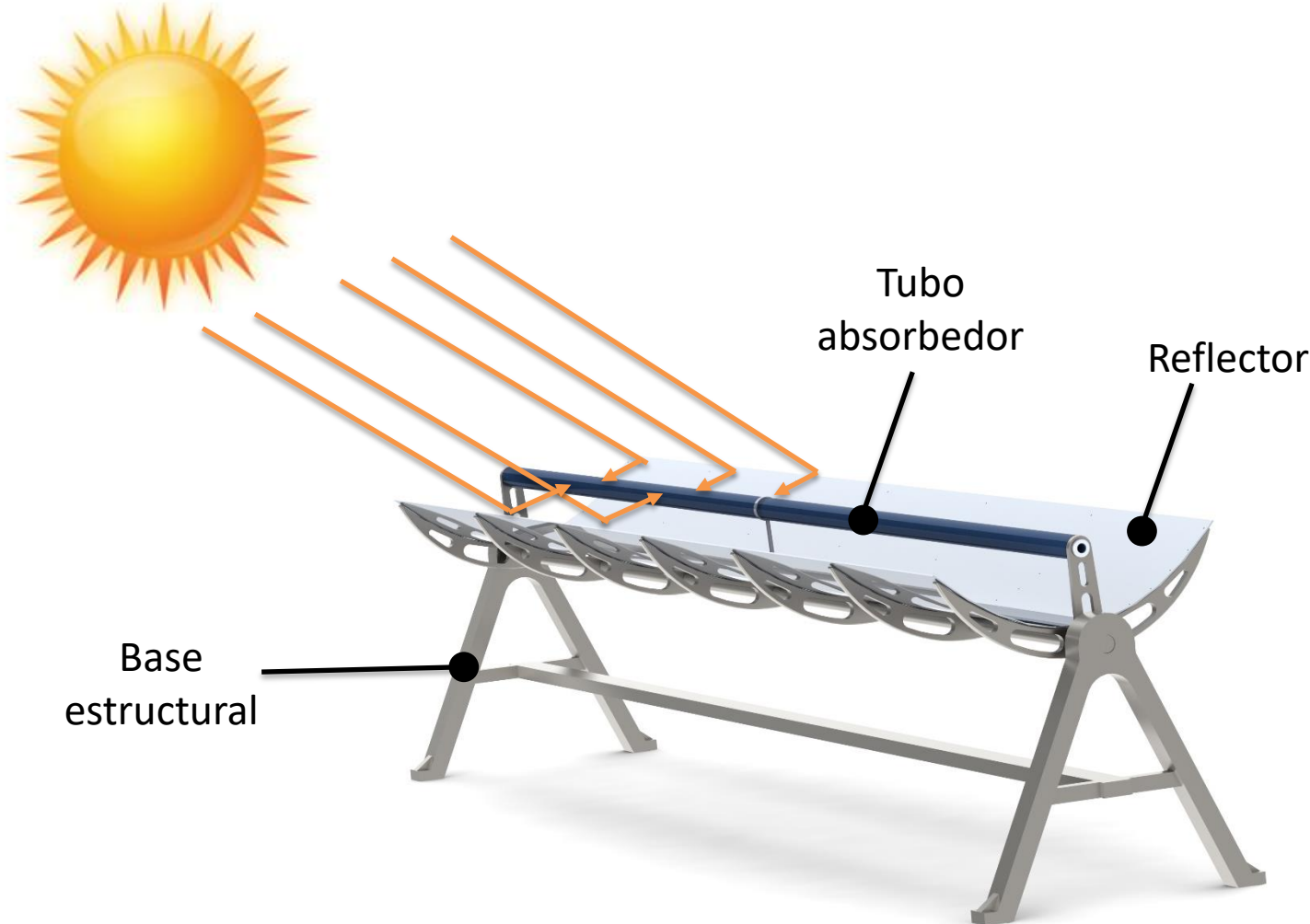
ECORFAN-México, S.C.
244 – 2 Itzopan Street
La Florida, Ecatepec Municipality
Mexico State, 55120 Zipcode
Phone: +52 1 55 6159 2296
Skype: ecorfan-mexico.s.c.
E-mail: contacto@ecorfan.org
Facebook: ECORFAN-México S. C.
Twitter: @EcorfanC

www.ecorfan.org

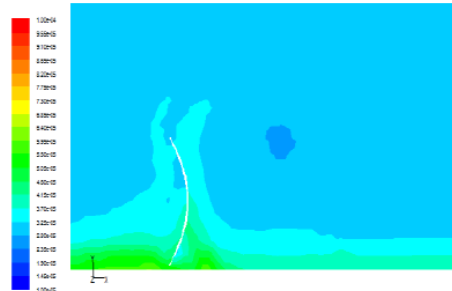
Holdings			
Bolivia	Honduras	China	Nicaragua
Cameroon	Guatemala	France	Republic of the Congo
El Salvador	Colombia	Ecuador	Dominica
Peru	Spain	Cuba	Haití
Argentina	Paraguay	Costa Rica	Venezuela
Czech Republic			

Introducción

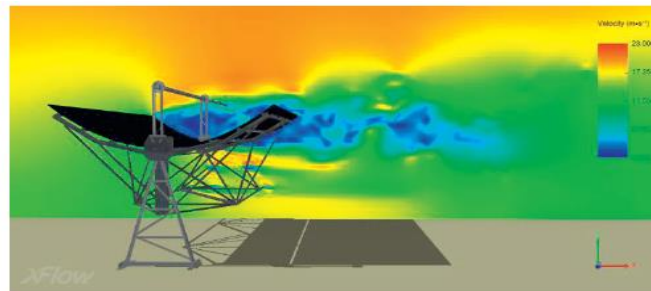




Antecedentes



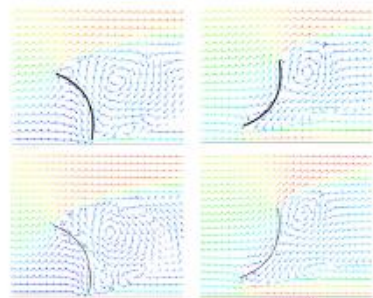
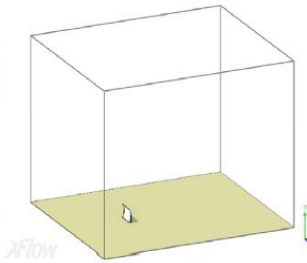
(Zhao *et al.*, 2017)



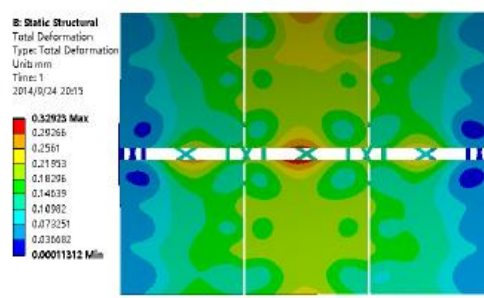
(Mier *et al.*, 2015)



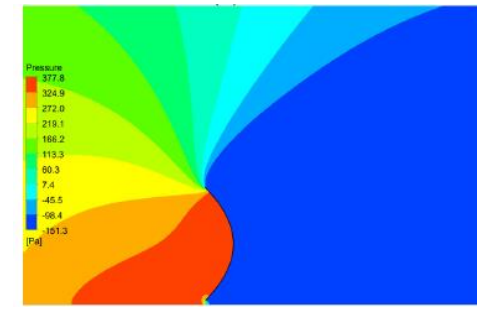
(Andre *et al.*, 2015)



(Botello *et al.*, 2016)



(Botello *et al.*, 2015)



(Zemler *et al.*, 2013)

Objetivo

Analizar y simular cargas de viento en un concentrador solar de canal parabólico (CCP) mediante el uso de dinámica de fluidos computacionales (CFD), utilizando el software Solidworks Flow Simulation para determinar las cargas provocadas en el dispositivo por éstas ráfagas.



Metodología

Diseño del concentrador de canal parabólico

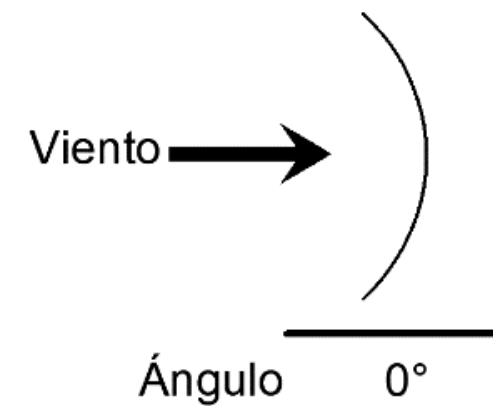
Recopilación de velocidades del viento de la zona

Dinámica de fluidos computacional

Características para el modelado del CCP en el software

Base estructural	Perfil tubular rectangular (0.0381 m)
Concentrador (Reflector)	Lámina de aluminio de alta reflectividad (95%)
Tubo Receptor	Tubo de acero inoxidable (0.032 m) y tubo de vidrio evacuado (0.08 m)
Área de apertura	4 m ²
Longitud	4 m
Ángulo de borde	90°

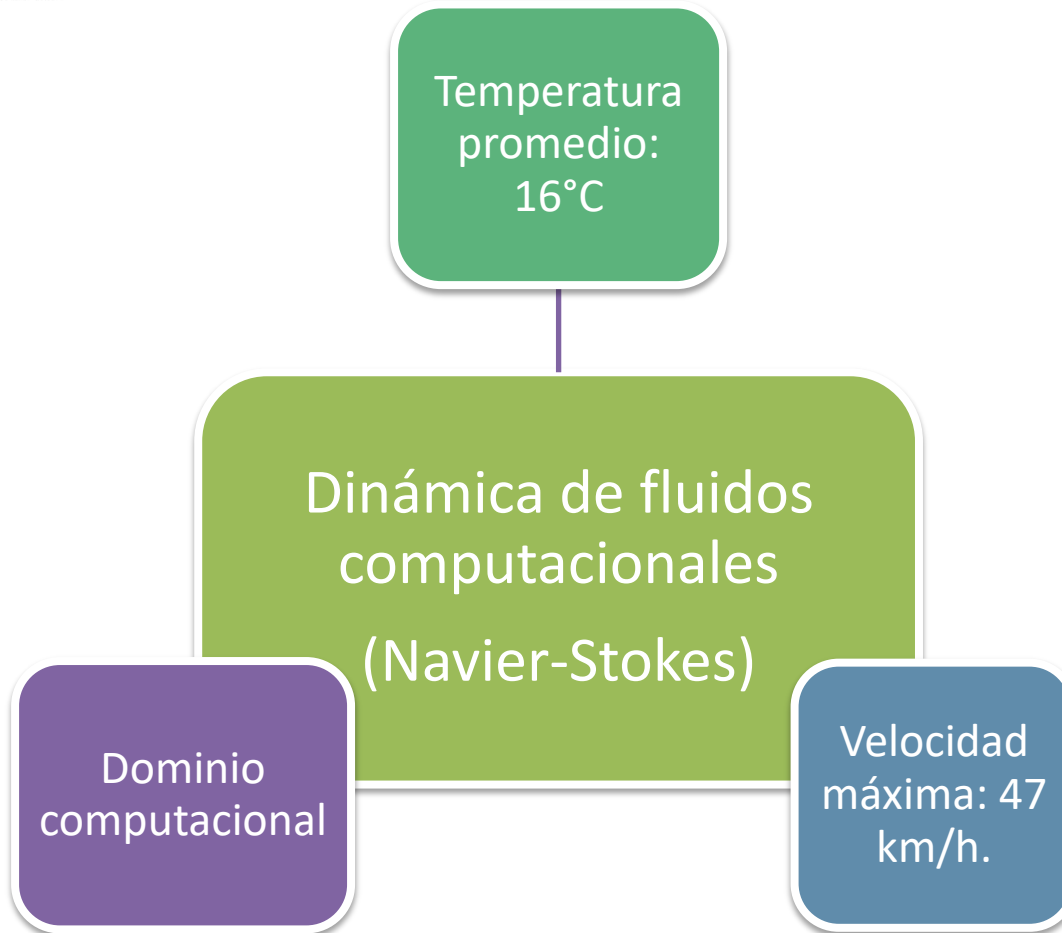
Ángulo de inclinación del CCP

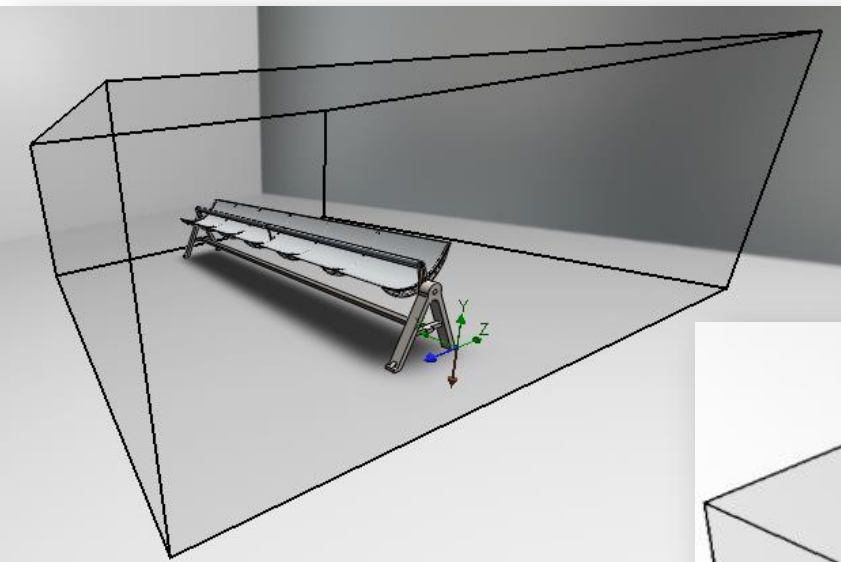


Ubicación de la estación meteorológica del Instituto Nacional de Investigaciones Forestales, Agrícolas y Pecuarias (INIFAP), en el Instituto Tecnológico Superior de Huichapan

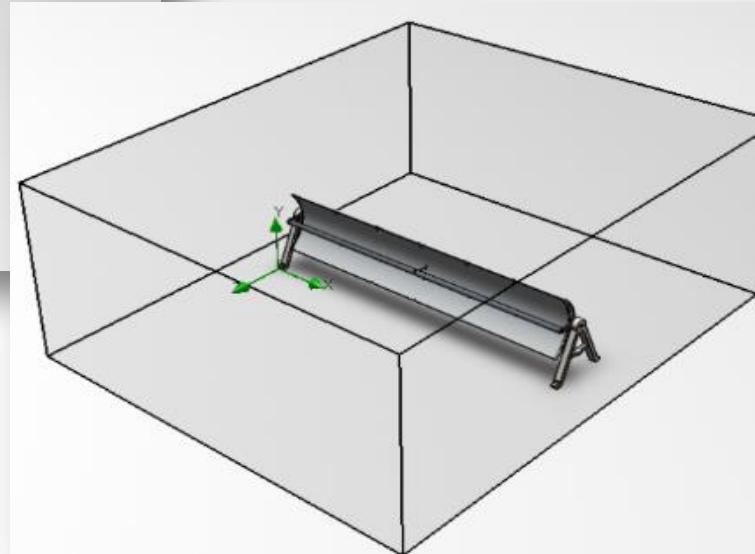


Fuente: Google Maps, 2016.





Dominio computacional



Size and Conditions	
 x	6 m
 x	-6 m
 y	6 m
 y	0 m
 z	8 m
 z	-4 m

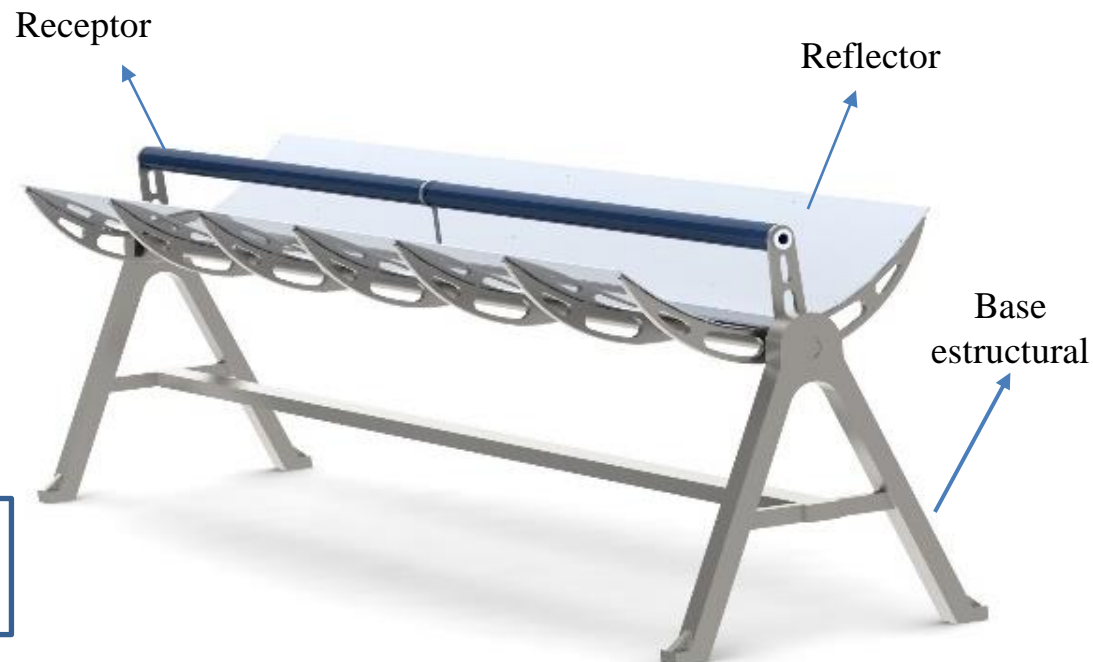
Resultados

Diseño del concentrador de canal parabólico

Abertura de canal: 1 m

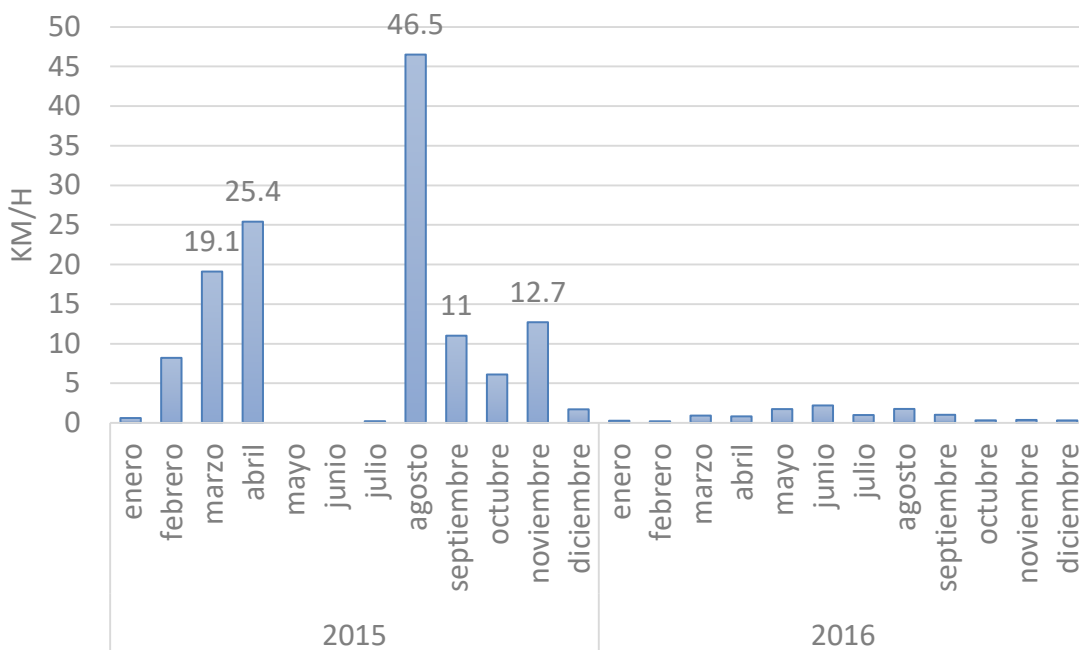
Longitud: 4 m

Ángulo de borde: 90°



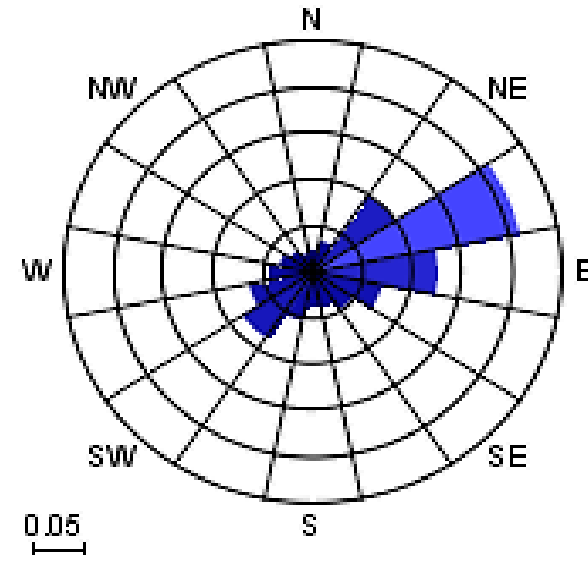
Recopilación de velocidades del viento de la zona

Historial de velocidades máximas del viento en El Saucillo, Huichapan. Hgo.



Fuente: (INIFAP, 2010)

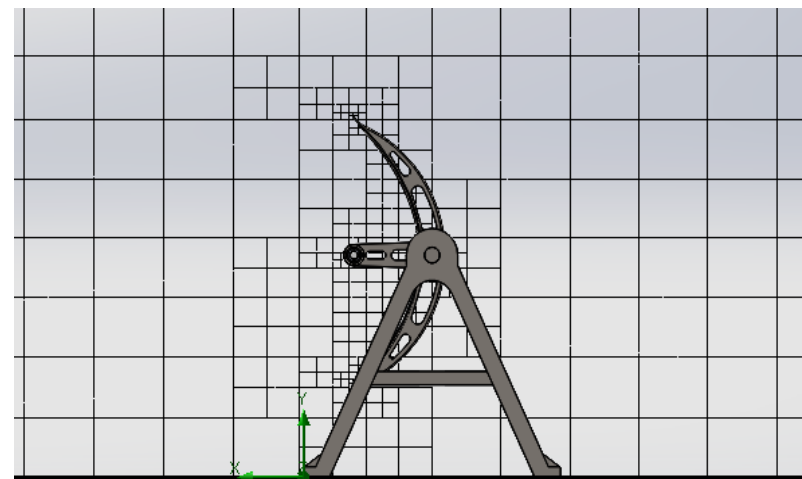
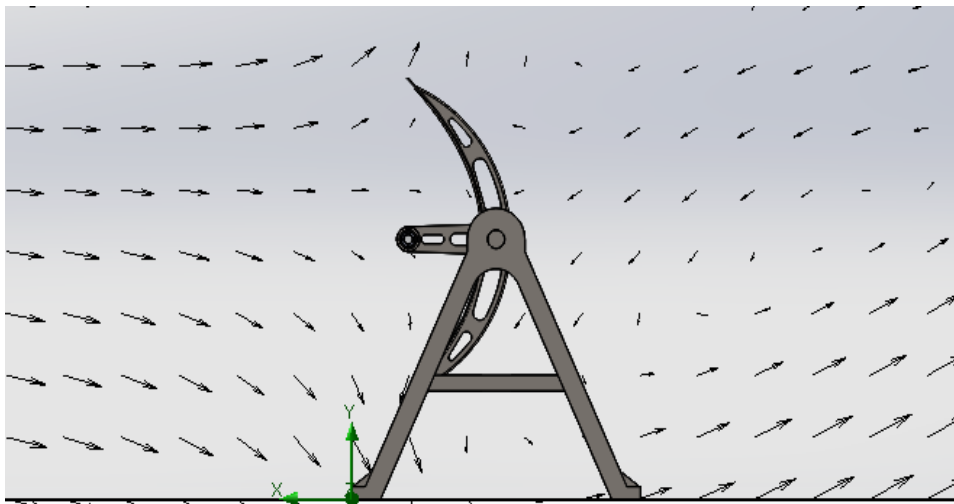
Rosa de vientos en El Saucillo, Huichapan, Hgo.



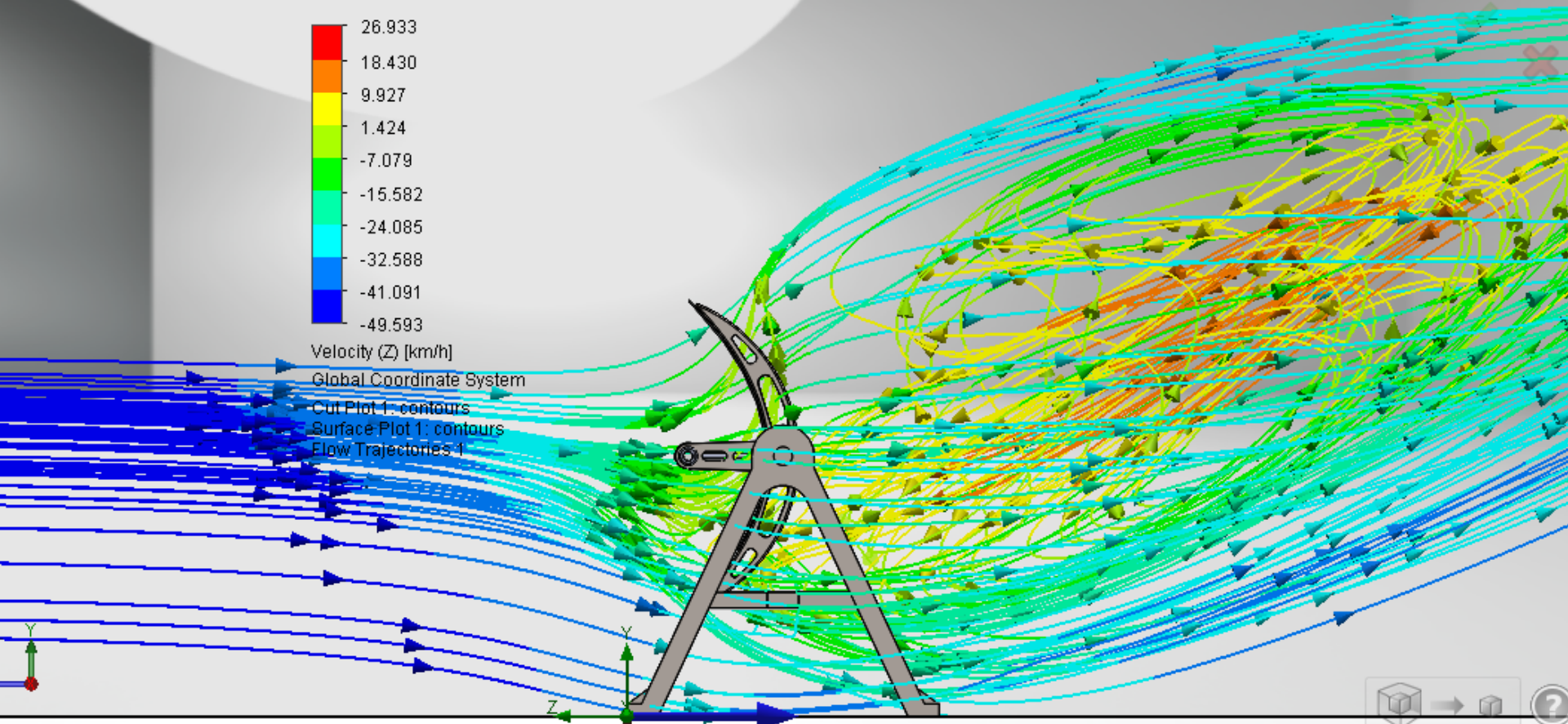
Fuente: AWS TRUEPOWER, Windnavigator.
 Recuperado el 06 de febrero de 2017 de:
<https://dashboards.awstruepower.com/wsa>

Dinámica de fluidos computacionales

Creación y refinamiento de la malla para la solución numérica



Distribución de velocidad en el CCP



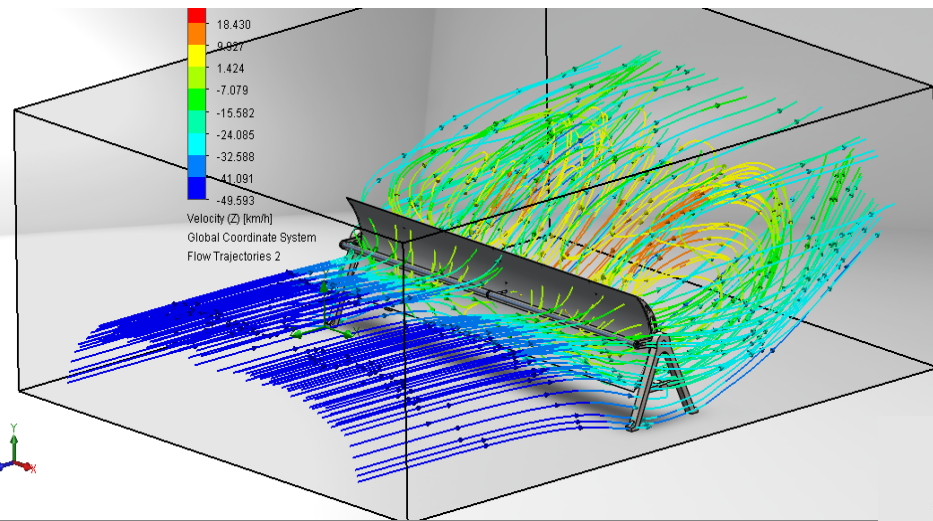
Simulación computacional del fluido (Vista lateral)



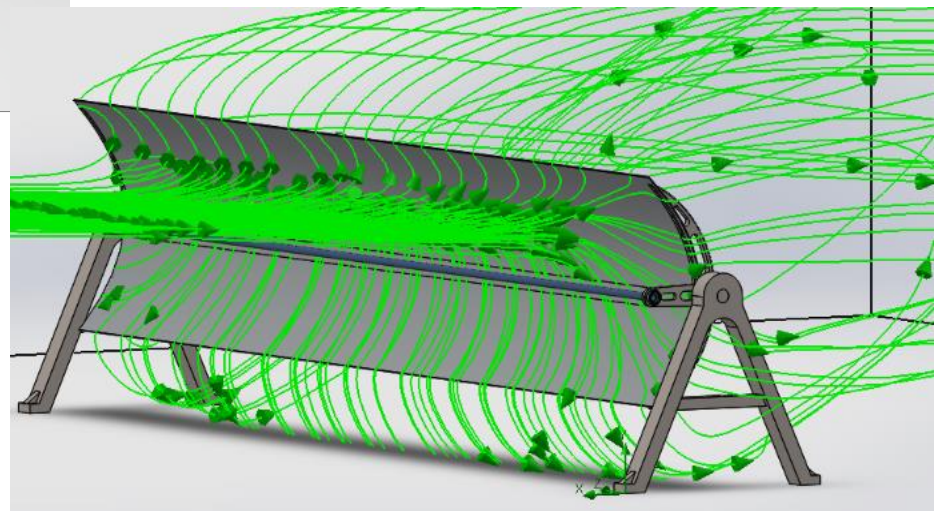
Ubicación de puntos de mayor presión en el CCP

Ubicación y valores de mayor presión en el CCP

X (m)	Y (m)	Z (m)	Presión (kPa)
-0.451	0.913	1.773	101.416
-0.451	0.916	1.212	101.415
-0.455	0.880	3.730	101.416
-0.455	0.874	3.169	101.417



Simulación del fluido
en el CCP (Trayectoria
del viento)



Conclusiones

Carga de presión: 101.523 kPa
Fuerza Normal: 422.236 N



Referencias

- Andre, M., Mier-Torrecilla, M., & Wüchner, R. (2015). Numerical simulation of wind loads on a parabolic trough solar collector using lattice Boltzmann and finite element methods. *Journal of Wind Engineering and Industrial Aerodynamics*, Vol. 146, 185-194.
- Bendjebbas, H., Abdellah-ElHadj, A., & Abbas, M. (2016). Full-scale, wind tunnel and CFD analysis methods of wind loads on heliostats: A review. *Renewable and Sustainable Energy Reviews*, Vol. 54, 452-472.
- Bootello, J. P. N., Mier-Torrecilla, M., Doblaré, M., & Pérez, M. S. (2016). Aerodynamics of new solar parametric troughs: Two dimensional and three dimensional single module numerical analysis. *Solar Energy*, Vol. 135, 742-749
- Christian, J. M., & Ho, C. K. (2010). Finite element modeling of concentrating solar collectors for evaluation of gravity loads, bending, and optical characterization. *ASME, Paper No. ES2010-90050*.
- Duffie, J. A., & Beckman, W. A. (2013). *Solar engineering of thermal processes*. John Wiley & Sons.
- Fu, W., Yang, M. C., Zhu, Y. Z., & Yang, L. (2015). The wind-structure interaction analysis and optimization of parabolic trough collector. *Energy Procedia*, Vol. 69, 77-83.

- Hachicha, A. A., Rodríguez, I., Lehmkuhl, O., & Oliva, A. (2014). On the CFD&HT of the flow around a parabolic trough solar collector under real working conditions. *Energy Procedia*, Vol. 49, 1379-1390.
- INIFAP. (2016). Instituto Nacional de Investigaciones Forestales, Agrícolas y Pecuarias. Recuperado de:
<http://clima.inifap.gob.mx/lnmysr/Estaciones/ConsultaDiarios15Min?Estado=13&Estacion=10099> Consulta: 10 de enero de 2016.
- Kalogirou, S. (2009). "Solar Energy Engineering", Cyprus Univ. Of Technology. Hardbound.
- Lizardi, A., López, R., Terres, H., & Morales, J. (2016). Análisis numérico del flujo asimétrico variando la posición axial del impulsor. *Revista de aplicaciones de ingeniería*, Vol. 3, 59-71.
- Mentado, D., Elizalde, S., Jiménez, D., & Azuara, J. (2016). Simulación de un Concentrador Solar de Canal Parabólico mediante el Software SolTrace. *Revista de Prototipos Tecnológicos*, Vol. 6, 68.
- Mier-Torrecilla, M., Herrera, E., & Doblaré, M. (2014). Numerical calculation of wind loads over solar collectors. *Energy Procedia*, Vol. 49, 163-173.

- Paetzold, J., Cochard, S., Fletcher, D. F., & Vassallo, A. (2015). Wind engineering analysis of parabolic trough collectors to optimise wind loads and heat loss. *Energy Procedia*, Vol. 69, 168-177.
- Zemler, M. K., Bohl, G., Rios, O., & Boetcher, S. K. (2013). Numerical study of wind forces on parabolic solar collectors. *Renewable energy*, Vol. 60, 498-505
- Zhao, M., Zhang, X., Zhang, X., Zou, L., & Kang, X. (2017). Numerical Simulation of Wind Pressure Coefficient and Distribution Trend of the Dust Concentration for Parabolic Trough Solar Collector. In *IOP Conference Series: Earth and Environmental Science*, Vol. 63, No. (1), p. 012009. IOP Publishing.
- Zou, Q., Li, Z., Wu, H., Kuang, R., & Hui, Y. (2015). Wind pressure distribution on trough concentrator and fluctuating wind pressure characteristics. *Solar Energy*, Vol. 120, 464-478.



ECORFAN®

© ECORFAN-Mexico, S.C.

No part of this document covered by the Federal Copyright Law may be reproduced, transmitted or used in any form or medium, whether graphic, electronic or mechanical, including but not limited to the following: Citations in articles and comments Bibliographical, compilation of radio or electronic journalistic data. For the effects of articles 13, 162,163 fraction I, 164 fraction I, 168, 169,209 fraction III and other relative of the Federal Law of Copyright. Violations: Be forced to prosecute under Mexican copyright law. The use of general descriptive names, registered names, trademarks, in this publication do not imply, uniformly in the absence of a specific statement, that such names are exempt from the relevant protector in laws and regulations of Mexico and therefore free for General use of the international scientific community. BCIERMIMI is part of the media of ECORFAN-Mexico, S.C., E: 94-443.F: 008- (www.ecorfan.org/ booklets)